

بررسی اثرات امواج مونسون بر ویژگی‌های رسوب‌شناسی رسوبات خلیج چابهار

محمد آفرین^{۱*} و محمدعلی حمزه^۲

- ۱ - کارشناس ارشد مرکز اقیانوس‌شناسی چابهار، پژوهشگاه ملی اقیانوس‌شناسی و علوم جوی، تهران
 ۲ - استادیار مرکز اقیانوس‌شناسی چابهار، پژوهشگاه ملی اقیانوس‌شناسی و علوم جوی، تهران

نویسنده مسئول: afarin.m@inio.ac.ir

دریافت: ۹۹/۱۰/۶ پذیرش: ۱۴۰۰/۱/۱۸

نوع مقاله: پژوهشی

چکیده

از ویژگی‌های منحصر به فرد دریای عمان وجود چرخه‌های موسمی است که تأثیر عمده‌ای بر خصوصیات محیطی منطقه دارد. هدف اصلی از این پژوهش، تعیین اثرات امواج حاصل از بادهای موسمی بر ویژگی‌های رسوب‌شناسی و نیمرخ‌های ساحلی خلیج چابهار است. روش کار شامل دانه‌بندی رسوبات بالک تر و دانه‌بندی لیزری، سنجش مقدار کربنات کلسیم و مواد آلی، نقشه‌برداری و برداشت نیمرخ‌های ساحلی در دو مرحله اویل مونسون و پس از مونسون است. بر اساس مطالعه بافت رسوبی و اندازه ذرات، محیط رسوبی خلیج چابهار در زمان مونسون به سه بخش تیس و آب شیرین کن (عمدتاً رسی)، کنارک (عمدتاً ماسه‌ای)، و دهانه خلیج (عمدتاً ماسه گلی) و پس از مونسون به سواحل تیس (ماسه نسبتاً زیاد)، کنارک و دهانه خلیج (سیلت نسبتاً زیاد) و آب شیرین کن (با نسبت مساوی ماسه و سیلت) تقسیک گردید. نتایج نشان داد امواج پرانرژی مونسون تابستانه با جهت جنوب-جنوب خاوری موجب فرسایش و جابجایی ذرات دانه ریزتر و در نتیجه افزایش نسبی سهم ذرات دانه درشت‌تر ماسه‌ای در بخش‌های خاوری و میانی خلیج (ایستگاه‌های تیس ساحلی و عمقی و آب شیرین کن) می‌گردد. بخش باختری خلیج چابهار (ایستگاه‌های کنارک ساحلی و عمقی)، به دلیل قرارگیری در پشت دماغه کنارک، کمتر تحت تأثیر امواج مونسون تابستانه (جنوب غربی) قرار گرفته و رسوبات آن در زمان مونسون دانه ریزتر می‌گرددند (غلب رسی). این حالت به دلیل تأمین رسوبات توسط جریانات موازی ساحل نیز روی می‌دهد. پس از مونسون، کاهش انرژی امواج موجب رسوب‌گذاری ذرات دانه ریزتر سیلتی و ایجاد پشتله‌های ماسه‌ای در نواحی ساحلی خلیج چابهار می‌گردد. این امر موجب می‌شود رسوب‌گذاری در اطراف اسکله‌های بخش خاوری خلیج (اسکله شهید بهشتی، شهید کلانتری، هفت تیر و تیس) به ندرت صورت گیرد، در حالی که اسکله کنارک در بخش غربی با رسوب‌گذاری زیادی مواجه شود.

وازگان کلیدی: مونسون تابستانه، دریای عمان، بافت رسوبات، مقطع عمود بر ساحل

۱- پیشگفتار

۱۹۶۴، آنالالی و مورتوگودده، ۵۰۰؛ سینگ و جی هو، ۲۰۰۷). شناخت ماهیت تغییرات خط ساحلی در این نواحی با تمرکز جمعیتی بالا نقش بسیار مهمی در مدیریت سواحل و نحوه ایجاد زیرساخت‌های ساحلی دارد. تغییرات فصلی مونسون اقیانوس هند به عنوان یکی از مهم‌ترین اجزای سامانه اقلیمی جهان، شامل مونسون جنوب باختری (مونسون تابستانه) و مونسون جنوب خاوری (مونسون زمستانه) به ترتیب آسیای جنوب خاوری و آسیای جنوب باختری را تحت تأثیر باران‌های سیل‌آسا و امواج شدید خود قرار می‌دهد (وبستر و همکاران، ۱۹۹۸). بطور مثال اثرات مونسون اقیانوس هند در سواحل مالزی شامل فرسایش ساحلی در زمان اوج فعالیت مونسون جنوب خاوری در

نواحی بین جزر و مدنی یکی از پویاترین محیط‌های رسوبی هستند که در آن‌ها تغییرات ریخت‌شناسی توسط امواج عمود بر ساحل و یا موازی آن دائمًا در حال انجام است. تغییرات فصلی فرسایش و رسوب‌گذاری ساحل یکی از مهم‌ترین علل تنوع ریخت‌شناسی در بسیاری سواحل است که در آن‌ها تغییرات انرژی امواج در اثر چرخه‌های اقلیمی در فصول مختلف روی می‌دهد (پترد، ۲۰۰۸). در نواحی تحت تأثیر امواج با انرژی فصلی متغیر، چرخه‌های سالیانه فرسایش و رسوب‌گذاری در فصول مختلف سال مشاهده می‌گردد که موجب تغییر شکل نوار ساحلی و تأثیر بر زیست بوم‌ها و زیرساخت‌های ساحلی می‌شود (دارلینگ،

بررسی رسوب‌شناسی رسوبات سطحی خلیج چابهار و تغییر نیمرخ‌های ساحلی در بازه زمانی اوایل مونسون و پس از مونسون، اثرات پدیده اقلیمی مونسون بر ویژگی‌های رسوب‌شناسی و محیط‌رسوبی خلیج چابهار از نظر بافت رسوبات و چگونگی جابجایی و انتقال رسوبات در بخش‌های مختلف خلیج چابهار ارزیابی و تفسیر می‌گردد.

۲- مواد و روش‌ها

۱-۱- شرایط محیطی خلیج چابهار

خلیج چابهار که از دیدگاه زمین ریخت‌شناسی، به خاطر شکل حلقه‌ای (Ω) خود از نوع خلیج‌های امکایی شناخته می‌شود، در کناره دریای مکران (عمان) و در محدوده طول جغرافیایی $25^{\circ} ۳۰' ۶۰^{\circ}$ و $۳۲^{\circ} ۴۵^{\circ} ۶۰^{\circ}$ عرض جغرافیایی $۱۷^{\circ} ۱۵' ۲۵^{\circ}$ و $۰۸^{\circ} ۲۶' ۲۵^{\circ}$ واقع گردیده است (شکل ۱). این خلیج یک محیط آبی نیمه بسته است که هم رسوبات آواری کوارتز، کلسیت، کانی‌های رسی و سنگین و هم رسوبات کربناته در آن در حال تنهشینی هستند (لک، ۱۳۷۹؛ محمدی و همکاران، ۱۳۸۶). عرض دهانه این خلیج در حدود $۱۳/۵$ کیلومتر و عمق آب در دهانه آن در حدود $۱۴/۵$ متر است. طول این خلیج در راستای خاوری-باختری در عریض‌ترین قسمت، حدود ۲۰ کیلومتر و عرض آن در راستای شمالی-جنوبی ۱۷ کیلومتر است (محمدی و همکاران، ۱۳۸۶). رودخانه‌های فصلی سور، پارک و کنارک به خلیج چابهار می‌ریزند که در محل ورود این رودخانه‌ها به خلیج چابهار، خور تشکیل شده (شکل ۱) که دریا از طریق این خورها ناحیه بالای جزرومدی پشت خط ساحلی را در موقع توفانی و بخصوص در فصل مونسون مرتبط می‌کند (محمدی و همکاران، ۱۳۹۲).

خلیج چابهار بعنوان بزرگ‌ترین خلیج در سواحل دریای عمان مطرح می‌باشد. بنادر تجاری و ترانزیتی چابهار و کنارک در خاور و باختر خلیج چابهار نیز بزرگ‌ترین بنادر ایرانی دریایی عمان هستند. بندر چابهار از خوش آب و هوایترین بنادر جنوبی ایران به شمار می‌رود که قرار گرفتن در مسیر بادهای موسمی شبه قاره هند (مونسون) در تابستان، چابهار را به خنک‌ترین و در زمستان آن را به گرم‌ترین بندر جنوبی کشور تبدیل کرده است (کمیجانی و چگینی، ۱۳۹۱). میانگین دما در بندر چابهار ۲۷ درجه سانتی‌گراد و میانگین بارندگی سالیانه در این شهرستان

زمستان و برافزوادگی رسوبات ساحلی در زمان افول آن در تابستان است (وونگ، ۹۸۱؛ اسپیربر و همکاران، ۲۰۰۰). سامانه اقلیمی مونسون جنوب باختری از ویژگی‌های منحصر به فرد دریای عمان است که تأثیر زیادی بر خصوصیات محیطی و زیست‌بوم سواحل آن دارد (شات و مک کریئری، ۲۰۰۱؛ ویرتکی، ۱۹۷۳). مونسون اقیانوس هند که محدوده اصلی فعالیت آن از سواحل مرزی ایران و پاکستان به سمت شبه قاره هند است، همه‌ساله از اوایل خداداد تا اواخر شهریور سواحل منطقه چابهار را تحت تأثیر امواج قوی خود قرار می‌دهد (حبیبی، ۱۳۷۹). بادهای موسمی حاصل از این پدیده اقلیمی با ایجاد امواج قوی موجب برداشتن رسوبات بستر و حمل آن به سمت مناطق آرامتر که در پناه موانع فیزیکی هستند می‌گردد (ویساناتان و همکاران، ۲۰۰۳؛ سنتگوبتا و همکاران، ۲۰۰۱). تنوع رسوبات آواری، شیمیایی، بیوشیمیایی و تأثیر آن‌ها بر سازه‌های ساحلی و پایداری سواحل، جابجایی خطوط ساحلی، عوامل زیستمحیطی و تأثیر رسوبات بر حیات موجودات کفزی و فراوانی آن‌ها، شناخت رسوبات ساحلی این ناحیه را بسیار پراهمیت می‌نماید. بنابراین، با توجه به نقش رسوبات و سرعت رسوب‌گذاری بر روی سازه‌های دریایی و نیز اهمیت رسوبات در حیات موجودات کفزی، بررسی رسوب‌شناسی و نحوه تجمع رسوبات در سواحل ایرانی دریای عمان و خلیج چابهار اطلاعات بسیار مفیدی در احداث و نگهداری سازه‌های ساحلی و دریایی و بعضاً تعیین منبع آلاینده‌های زیستمحیطی در آینده ارایه خواهد نمود. تحقیقات اندکی در خصوص تأثیر مونسون بر رسوب‌شناسی رسوبات بستر سواحل ایرانی دریای عمان و خلیج چابهار صورت گرفته است. عمدۀ مطالعات با عنادین مونسونی مربوط به شرایط اکولوژیک و زیستی است (لقمانی و همکاران، ۱۳۹۵؛ توتونی و همکاران، ۱۳۹۵، ۲۰۱۱؛ فاضلی و زارع، ۲۰۱۳). از دیگر مطالعات انجام شده در این زمینه می‌توان به مطالعات نیکوئیان (۱۳۸۰)، طاهری و همکاران (۲۰۱۰) اشاره نمود. تحقیقات مذکور نشان از کاهش تراکم ماکروبنتووزها در فصل پس مونسون و افزایش آن در فصل پیش مونسون دارد. سایر مطالعات بر روی خواص رسوبی و ژئوشیمی رسوبات منطقه است که می‌توان به تحقیقات احراری‌رودی (۱۳۹۲)، لک (۱۳۷۹)، محمدی و همکاران (۱۳۸۵) اشاره نمود. در این مقاله، با

۲-۲ - امواج و جریان‌های دریایی

امواج یکی از مهم‌ترین عوامل هیدرولوژیک تاثیرگذار بر روی رسوبات، نحوه توزیع آن‌ها و نیز ساخته‌ها و ریخت‌شناسی سواحل در خلیج چابهار می‌باشند. امواج سواحل ایرانی دریای عمان در زمان‌های مختلف سال دارای ویژگی‌های متفاوتی هستند و قدرت تخریبی و ارتفاع آن‌ها در داخل خلیج چابهار کمتر از سواحل باز دریای عمان است. این امواج به‌خصوص در تابستان در سواحل ماسه‌ای خلیج چابهار موجب گردش‌گی، کرویت، جورش‌گی و نیز بلوغ بافتی رسوبات ساحلی می‌گردند. هم‌چنین در سواحل صخره‌ای با تخریب پرتگاه‌های ساحلی موجب پسروی سواحل و پیشروی آب دریا به سمت خشکی شده و در واقع نقش تخریب کننده دارد (لک، ۱۳۷۹). شدیدترین امواج منطقه، امواج حاصل از مونسون جنوبی خاوری هستند که بزرگی آن‌ها به سه متر می‌رسد (ساکت و اعتماد‌شهیدی، ۲۰۱۲؛ شاهحسینی و همکاران، ۲۰۱۸). در طی بازه زمانی ۲۳ ساله منتهی به سال ۱۳۸۶ جنوب-جنوب باختری بیش‌ترین شدت را در منطقه نشان می‌دهند (حدود ۹ متر بر ثانیه) (ساکت و اعتماد‌شهیدی، ۲۰۱۲). میانگین ماهانه انرژی امواج نشان می‌دهد قدرت امواج محدوده مورد بررسی از حدود ۱ تا ۲/۵ کیلووات بر متر در نوسان است که بیش‌ترین آن متعلق به محدوده زمانی مونسون و کم‌ترین آن مربوط به زمان پس از مونسون (پاییز) است. میانگین سالانه انرژی امواج ۸/۲ کیلووات بر متر است. بر اساس داده‌های شدت امواج، ساکت و اعتماد شهیدی (۲۰۱۲) تغییرات رژیم امواج منطقه به سه دوره زمستان تا اواسط بهار، اوخر بهار و تابستان (بیش‌ترین انرژی امواج) و نهایتاً پاییز (دوره آرام) تقسیم‌بندی نمودند (شکل ۱ ب). جهت حرکت امواج در فصول قبل از مونسون از سمت جنوب باختر است که با شروع مونسون به سمت جنوب و جنوب خاوری تغییر جهت می‌دهند و به ارتفاع امواج افزوده می‌شود.

جریان‌های دریایی در دریای عمان عمان و خلیج چابهار در نتیجه عملکرد متقابل بادها و آب دریا است. آثار و مسیر این جریان‌ها را می‌توان از طریق نحوه پراکنش و انتقال مواد معلق شناسایی نمود. در خلیج چابهار جریان‌های دریایی بصورت جریان‌های موازی با ساحل^۲ وجود دارد و

۱۰۵ میلی‌متر ثبت شده که ۶۴ درصد آن مربوط به ماههای دی، بهمن و اسفند است. حداکثر و حداقل رطوبت به ترتیب ۶۷ و ۵۴ درصد است که بیش‌ترین میزان آن در اردیبهشت و خرداد دیده می‌شود (کمیجانی و همکاران، ۱۳۹۰).

سواحل چابهار را می‌توان در زمرة دشت‌های کرانه‌ای^۱ طبقه‌بندی نمود (شاهحسینی و همکاران، ۲۰۱۸)، که در آن یک جلگه ساحلی توسط پشته‌های ماسه‌ای متواالی عمدتاً موازی با ساحل پوشیده شده که این پشته‌ها نیز توسط گودی‌هایی از هم جدا شده‌اند (شفرز و همکاران، ۲۰۱۲). این ریخت‌شناسی معرف نواحی در حال بالا‌آمدگی تکتونیکی هستند. سواحل خلیج نیم دایره‌ای چابهار تا حدودی توسط سواحل بالا‌آمده دماغه‌ای شکل (دماغه کنارک و به میزان کمتر دماغه چابهار) در برای امواج اقیانوسی و توفان‌های حاره‌ای محافظت می‌گردد (شاهحسینی و همکاران، ۲۰۱۸). سواحل مورد بررسی در

زمرة سواحل تحت تأثیر امواج طبقه‌بندی می‌شوند. جریان ورودی رودخانه‌ها به خلیج چابهار اغلب فصلی و به صورت موقت بوده و بندرت اتفاق می‌افتد. بهطور کلی در مورد بیشینه بار رسوبی وارد شده به خلیج چابهار از طریق رودخانه‌ها دو نظریه مطرح است (نورماند و همکاران، ۲۰۱۹). در حالت اول، به نظر می‌رسد در زمان هولوسن، رودخانه‌هایی با جریان آب دائمی (رودخانه سرگان) برقرار بوده و از این طریق حجم زیادی از رسوبات دانه‌درشت (اغلب ماسه‌سیلتی) وارد خلیج چابهار شده است. در حال حاضر، به علت تغییر مسیر رودخانه سرگان به سمت خلیج پزم، ورودی رسوبات دانه‌درشت رودخانه‌ای به خلیج چابهار کاهش یافته و رسوبات بهطور عمده از فرسایش تشکیلات زمین‌شناسی (گلسنگ‌ها و ماسه‌سنگ‌های آهکی) و حمل ذرات دانه ریزتر سیلتی توسط باد از تپه‌های ماسه بادی نوار ساحلی و اطراف خلیج چابهار نشأت گرفته‌اند (غريب‌رضا، ۲۰۱۶؛ غريب‌رضا و معتمد، ۲۰۰۶).

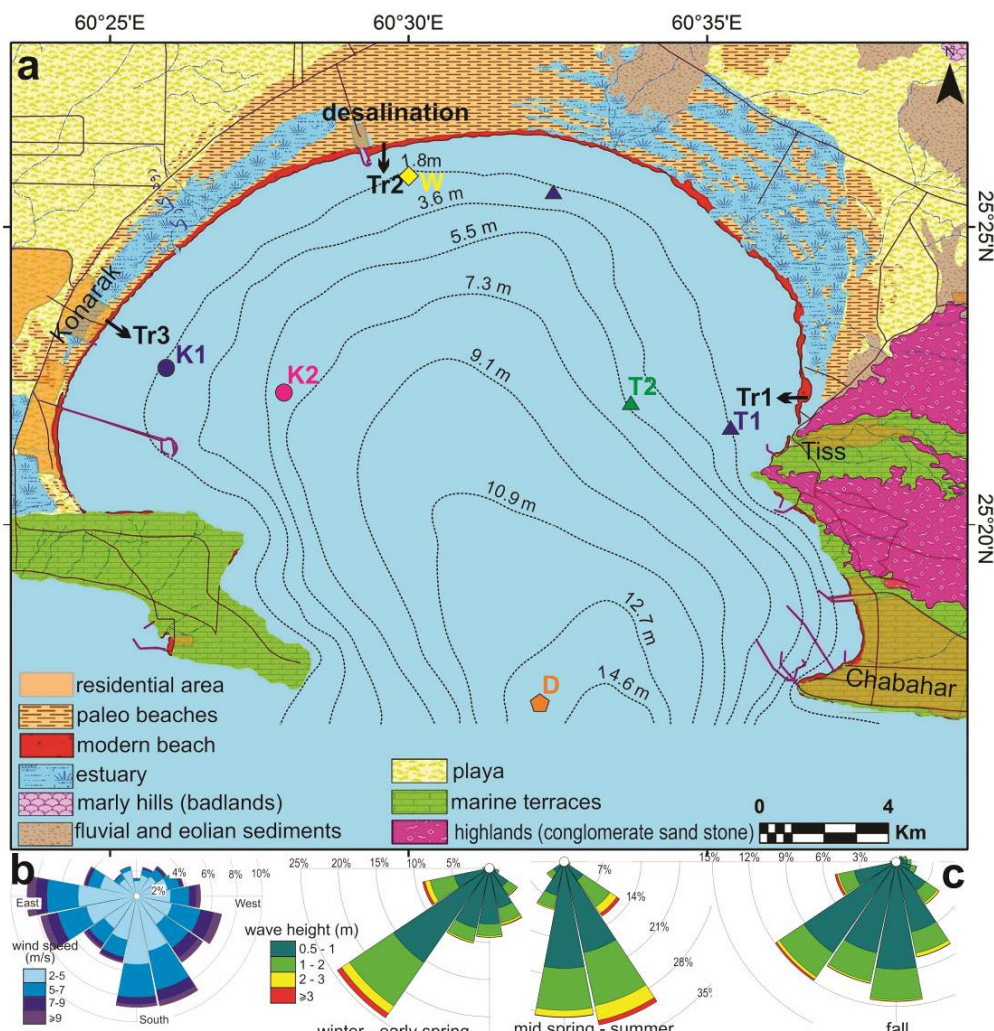
در حالت دوم، اعتقاد بر این است که پیشروی و ورود رسوبات به خلیج چابهار در حال حاضر نیز به قوت خود باقی است و این امر از طریق طغیان رودخانه‌های فصلی صورت می‌گیرد (شاهحسینی و همکاران، ۲۰۱۸).

² Longshore currents

¹ Strand plain

صورت افقی و جانبی دیده می‌شود. طبق آمار سازمان نقشه‌برداری کشور حداقل و حداکثر جزر در بندر کنارک به ترتیب ۰/۷۱ و ۱/۴۱ متر و حداکثر و حداقل مد هم به ترتیب ۲/۸۱ و ۲/۱۱ متر می‌باشد. همچنین حداقل و حداکثر جزر در بندر چابهار به ترتیب ۰/۷۳ و ۰/۲۴ متر و حداقل و حداقل مد هم به ترتیب ۲/۵۹ و ۲/۰۸ متر می‌باشد. بر این اساس، سواحل دریای عمان در محدوده خلیج چابهار، جزء سواحل با جزو مردم متوسط^۳ طبقه‌بندی می‌شود (محمدی، ۱۳۸۶).

دلیل این امر نیز وجود زبانه‌های ماسه‌ای در دهانه رودخانه‌های فصلی شور، پارگ و کنارک است. بطور مثال ایجاد بند بر روی رودخانه پارگ (در عرض چند سال قبل)، مانع از ورود آب به داخل خلیج می‌گردد، لذا دهانه رودخانه پارگ بر اثر عملکرد جریان‌های دریایی موازی ساحل و ایجاد زبانه‌های ماسه‌ای کاملاً مسدود شده است. با توجه به ریخت‌شناسی سواحل خلیج چابهار، نوسانات سطح آب به صورت جزرومد در مناطق صخره‌ای که شیب بستر زیاد است بصورت قائم و بصورت تغییرات ارتفاعی می‌باشد و بر عکس در سواحل با مورفولوژی ملایم این نوسانات به



شکل ۱. الف: نقشهٔ زمین‌شناسی محدوده خلیج چابهار با نمایش عمق بستر و ایستگاه‌های نمونه‌برداری و تهیه نیمروز عمود بر ساحل (پیکان ها)، ب: جدول مشخصات ایستگاهها، ج: گلباد در طول سال و د: گلباد در زمان‌های مختلف سال زمان موسمون، قبل و بعد از آن (ساکت و اعتناد شهیدی، ۲۰۱۲).

³ Mesotidal

در دمای ۱۰۵ درجه سانتی‌گراد به مدت ۲۴ ساعت کاملاً خشک گردید. پس از خشکشدن، نمونه‌ها دوباره توزین گردید و میزان آب تبخیر شده در آن‌ها محاسبه شد. با توجه به میزان شوری آب دریا در مجاورت رسوب که در حین نمونه‌برداری ثبت شده بود و میزان وزن آب موجود در رسوبات، میزان نمک موجود در رسوب به گرم اندازه‌گیری و از وزن نمونه رسوب خشک، کسر گردید. دلیل این کار این است که به هنگام دانه‌بندی با الکتر، نمک موجود در نمونه رسوب در آب حل شده و از نمونه خارج می‌شود. بنابراین اگر وزن نمک موجود در نمونه رسوب، از آن کسر نگردد، موجب می‌شود که میزان ذرات سیلت و رس را بیشتر از میزان حقیقی نشان دهد. در مرحله بعد (پس از خشک کردن) محتوای کربنات کلسیم موجود در رسوبات حذف گردید. برای این کار سعی گردید در ابتدا ذرات درشت صدف‌های کربنات کلسیمی به صورت دستی حذف گردد. سپس مابقی دانه‌های ریز کربنات کلسیم به روش اضافه نمودن اسید کلریدریک سرد و رقيق (۱۰٪) حل گردید و پس از آبشویی با آب مقطر، از رسوب خارج گردید (جکسون، ۱۹۵۶). در نمونه‌هایی که میزان مواد آلی بیش از ۳ درصد باشد، حضور این مواد می‌تواند موجب چسبیدن برخی دانه‌ها بهم شود و موجب تغییر در نتایج دانه‌بندی گردد. برخی از نمونه‌ها که از نظر ظاهری دارای رنگ تیره بودند داخل بشر ۶۰۰ میلی لیتری قرار داده شدند و حدود ۱۰ میلی لیتر پراکسید هیدروژن ۳۰ درصد به آن اضافه گردید و مواد آلی موجود در آن اکسید شده و به صورت کربن دی‌اکسید از نمونه خارج گردید (ساهو، ۱۹۶۴). در صورت نیاز این کار تکرار گردید تا اینکه رنگ نمونه روشن و حباب‌های ناشی از واکنش ناپدید شد. در نهایت رسوبات مجدداً خشک و توزین گردید.

۲-۳-۲- دانه‌بندی به روش الک تر و لیزری
نمونه رسوبات آماده‌سازی شده برای دانه‌بندی با قطر بین ۲ تا ۰/۰۶۳ میلی‌متر به روش الک تر، توسط سامانه الک شیکر با سری الکهای منطبق با استاندارد MATEST به مدت متوسط ۳۰ دقیقه مورد آنالیز قرار گرفت (لوییس و مک‌کونچی، ۱۹۹۴؛ بلر و مک فرسون، ۱۹۹۹). در این روش تعداد ۶ الک با شماره‌های ۱، ۲، ۰/۰۵، ۰/۲۵۰، ۰/۱۲۵ و ۰/۰۶۳ میلی‌متر به ترتیب از ریز به درشت (پایین به بالا)

۳-۲- روش مطالعه

۱-۳-۲- مطالعات میدانی و تهیه نیمرخ عمود بر ساحل

تهیه نیمرخ سواحل جهت شناسایی شرایط توپوگرافی و تغییرات عمق ساحل توسط ترازیاب نیوو و میله مدرج انجام گردید. نیمرخ‌های ساحلی همزمان با نمونه‌برداری در بازه زمانی اوایل مونسون و پس از مونسون در سه برش عمود بر ساحل تیس، آب شیرین‌کن و کنارک از پهنه بالای جزرومدمی تا مزبیشترین حد جزر برداشت و ترسیم گردید. زمان برداشت نیمرخ ثبت گردید تا ارتفاع سطح آب در زمان تهیه نیمرخ و ارتفاع آب در حالت جزر و مد بعداً توسط داده‌های هیدروگرافی تعیین گردد. فاصله بین دو اندازه‌گیری متوالی ۵ متر انتخاب گردید. نیمرخ نهایی بصورت نمودار توسط نرم‌افزار Excel 2013 تهیه و بوسیله نرم‌افزار CorelDRAW X7 پردازش گردید.

۲-۳-۲- نمونه‌برداری

نمونه‌برداری در ماه‌های آذر ۱۳۹۲ و خرداد ۱۳۹۳ طی دو مرحله پس از مونسون و اوایل مونسون از شش ایستگاه (تیس ساحلی و عمقی، کنارک ساحلی و عمقی، آب شیرین‌کن و دهانه خلیج) منطقه زیر جزرومدمی خلیج چابهار صورت گرفت (شکل ۱). نمونه رسوب از هر ایستگاه با سه تکرار توسط گرب وان وین با سطح مقطع ۲۵۰ سانتی‌متر مربعی برداشته شد و در هر ایستگاه عمق برداشت رسوب و مختصات جغرافیایی ایستگاه‌ها نیز ثبت گردید.

۳-۳-۲- مطالعات آزمایشگاهی

۱-۳-۳-۲- آماده‌سازی نمونه‌ها برای آنالیز اندازه ذرات

به دلیل این‌که رسوبات مورد مطالعه تقریباً عاری از قلوه‌سنگ بودند، ۵۰ گرم نمونه جهت دانه‌بندی برداشت گردید، زیرا میزان بیشتر نمونه رسوب انتخابی موجب وقت‌گیر شدن دانه‌بندی گردیده و داده‌های قابل اثکای ارایه نمی‌کند (کرومین، ۱۹۳۸). قبل از شروع آزمایش دانه‌بندی به روش الک تر، مقداری نمونه رسوب داخل بشر ۱۰۰ میلی لیتری از قبل توزین شده قرار داده شد و با ترازوی دقیق آزمایشگاهی با دقت ۰/۰۱ گرم توزین گردید. سپس نمونه‌ها داخل دستگاه خشک کن (آون) قرار گرفت؛

آمدن سطح مایع برای ایجاد تعادل فشار در دو طرف لوله است، حجم گاز را می‌توان از روی حجم جابجایی مایع در لوله استوانه‌ای اندازه گرفت. اگر این حجم برابر ۷ سانتی متر مکعب باشد با استفاده از رابطه زیر می‌توان میزان آهک در رسوب را محاسبه نمود (داسل و همکاران، ۲۰۰۹). در این فرمول A وزن رسوب بر حسب گرم و ۷ میزان جابجایی ستون آب در لوله می‌باشد.

$$P = \frac{V}{2.24 \times A}$$

۴-۳-۲- سنجهش مواد آلی

در این مقاله جهت تعیین میزان مواد آلی رسوبات از روش کوره الکتریکی استفاده گردید (هیتری و همکاران، ۲۰۰۱). در این روش ۲ گرم رسوب کاملاً خشک شده داخل بوته چینی از قبل توزین شده قرار داده شد، در دمای ۵۰۰ درجه سانتی گراد و به مدت ۲ ساعت داخل کوره الکتریکی قرار گرفت. پس از سرد شدن نمونه، میزان رسوب موجود در بوته چینی دوباره توزین و درصد کاهش وزن نمونه به عنوان درصد وزنی مواد آلی موجود در رسوب گزارش گردید.

۴-۳-۲- نامگذاری رسوبات و عملیات آماری

نامگذاری رسوبات توسط نمودار مثلثی فولک (۱۹۸۰) انجام شد (شکل ۲). محاسبات مربوط به میانگین، انحراف معیار و رسم نمودارها و تنظیم جداول با استفاده از نرم‌افزار Microsoft Excel انجام گردید (جدول ۱). به منظور ایجاد درک بهتری از نحوه توزیع ذرات رسوبی در خلیج چابهار، نقشه توزیع رسوبات در ایستگاه‌های مورد مطالعه توسط نرم‌افزار ArcGIS 10 تهیه گردید (شکل ۴).

۳- نتایج

نتایج حاصل از دانه‌بندی، کلسیمتری و مواد آلی به همراه بافت رسوبات در نمونه‌های اوایل مونسون و پس از مونسون در جدول ۱ مقایسه شده است. بر اساس داده‌های جدول ۱ و شکل‌های ۲ تا ۴، خلیج چابهار در زمان مونسون از نظر اختصاصات رسوب‌شناسی و بافت رسوبی به سه بخش مجزا قابل تفکیک است: ۱) ایستگاه‌های تیس ساحلی و عمقی و ایستگاه آب شیرین‌کن، بصورت عمده دارای ذرات ماسه است، به طوری که این ایستگاه‌ها به ترتیب داده‌اند؛ ۲) ایستگاه کنارک ساحلی و عمقی که عمدتاً

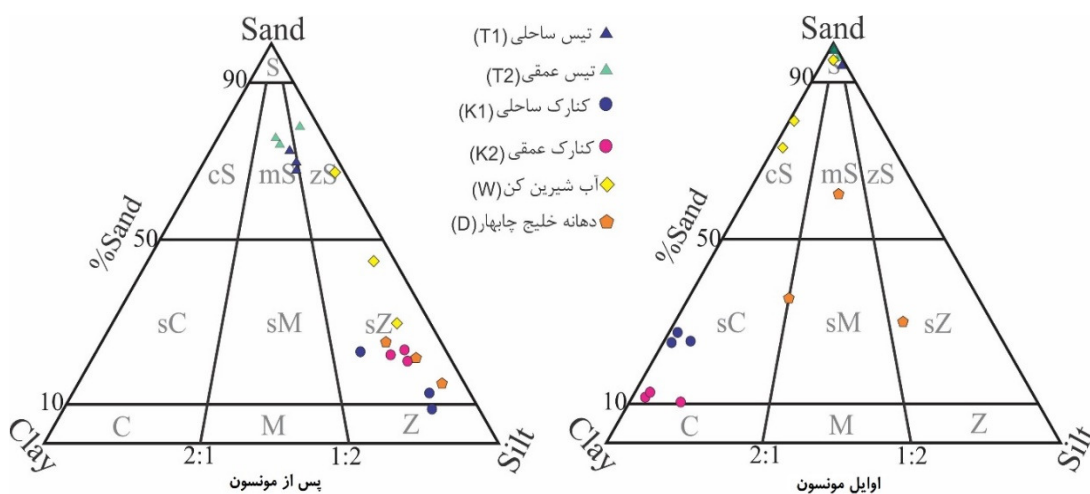
روی هم قرار داده شدند (ASTM 1988؛ شاو، ۱۹۶۵؛ تاکر، ۱۹۸۸). بر روی الک فوکانی درپوشی قرار داده شد که یک شیلنگ آب به آن متصل می‌باشد تا آب از بالا با فشار روی نمونه بپاشد. در زیر الک تحتانی نیز یک ظرف متصل به شیلنگ قرار داده شد تا آب خروجی از زیر الک را به ظرف بزرگی جهت تهشیست رسوبات دانه‌ریز سیلت و رسوب داخل خشک کن در دمای ۱۰۰ درجه سانتی گراد خشک گردید. سپس الکهای حاوی رسوبات توزین شد و با در دست داشتن وزن الکهای خالی، وزن خالص رسوبات روی هر الک مشخص گردید (رحیم‌زاده، ۱۳۷۸). ذرات عبوری از الک شماره ۶۳ میکرون (گل) پس از تهشیین و خروج آب اضافی، به وسیله دستگاه دانه‌بندی لیزری 22 Laser Particle Sizer آنالیز شد (سیویتسکی، ۲۰۰۷؛ مرکوس، ۲۰۰۹؛ والسنگار، ۱۹۹۲). برای این کار، پس از جدایش ذرات در حمام اولتراسونیک و اضافه نمودن چند قطره ماده پراکنده کننده پیروفسفات سدیم (Na₄P₂O₇) با غلظت ۰/۵ درصد، نمونه رسوب درون محفظه دستگاه دانه‌بندی لیزری قرار داده شد (گربر، ۲۰۰۴). پس از آنالیز مقادیر سیلت و رس، قطر این ذرات بر مبنای میکرون اندازه گیری شد. در پایان پس از تجزیه و تحلیل نمودارهای حاصله و تلفیق آن با نتایج دانه‌بندی الک تر، مقادیر ماسه، سیلت و رس بر مبنای ۱۰۰ درصد محاسبه گردید (جدول ۱).

۴-۳-۳- ۲- کلسیمتری (کربنات‌سنگی)

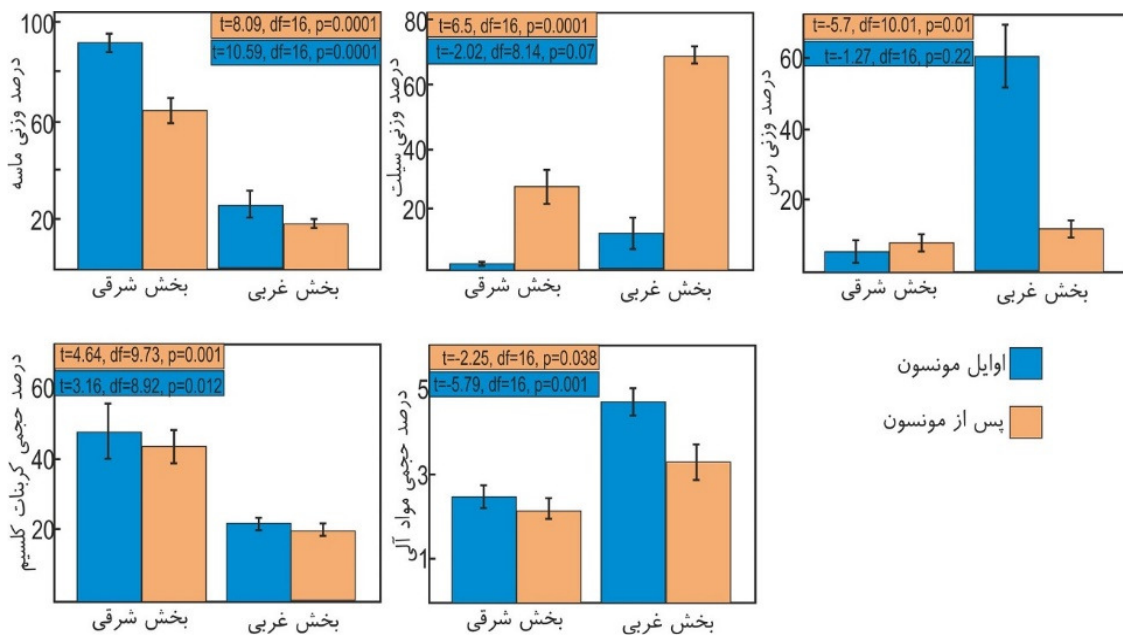
محتوی کربنات کلسیم نمونه رسوبات به روش کلسیمتر برنارد انجام شد (لوییس و مک‌کونچی، ۱۹۹۴؛ داسل و همکاران، ۲۰۰۹). اساس اندازه گیری آهک، به روش انحلال در اسید کلریدریک است و با استفاده از گاز CO₂ متصاعد شده، می‌توان مقدار آهک در رسوب را اندازه گیری کرد. در این روش، مقدار معینی رسوب (حدود ۰/۲ گرم) را کاملاً پودر کرده، با یک لوله آزمایش مقدار ۸^{cc} اسید کلریدریک رقیق نیز برداشت شد. با قرار دادن رسوب در داخل اrlen کمی آب به آن اضافه شد. با دقت لوله آزمایش محتوی اسید را در کنارش قرار داده تا محتوی آن به داخل اrlen نریزد. حال اگر با خم کردن اrlen، اسید روی رسوب ریخته و گاز CO₂ متصاعد شده سبب افزایش فشار در داخل لوله استوانه‌ای می‌شود و سطح مایع را پایین می‌آورد. پایین

شامل (ایستگاه‌های تیس ساحلی به طور میانگین ۸۰ درصد و تیس عمقی ۷۵ درصد دارای ذرات ماسه)، ۲) بخش دوم دارای سیلت زیاد که مشتمل بر (ایستگاه‌های کنارک ساحلی با میانگین ۶۲/۷ درصد، کنارک عمقی با ۶۲/۷ درصد و ایستگاه دهانه خلیج چابهار با ۲۲/۳ درصد از ذرات سیلت) هستند؛ ۳) ایستگاه آب شیرین کن با ترکیب نسبتاً مساوی سیلت و ماسه در رسوبات به عنوان بخش سوم از خلیج چابهار در زمان پس از مونسون شناخته می‌شود.

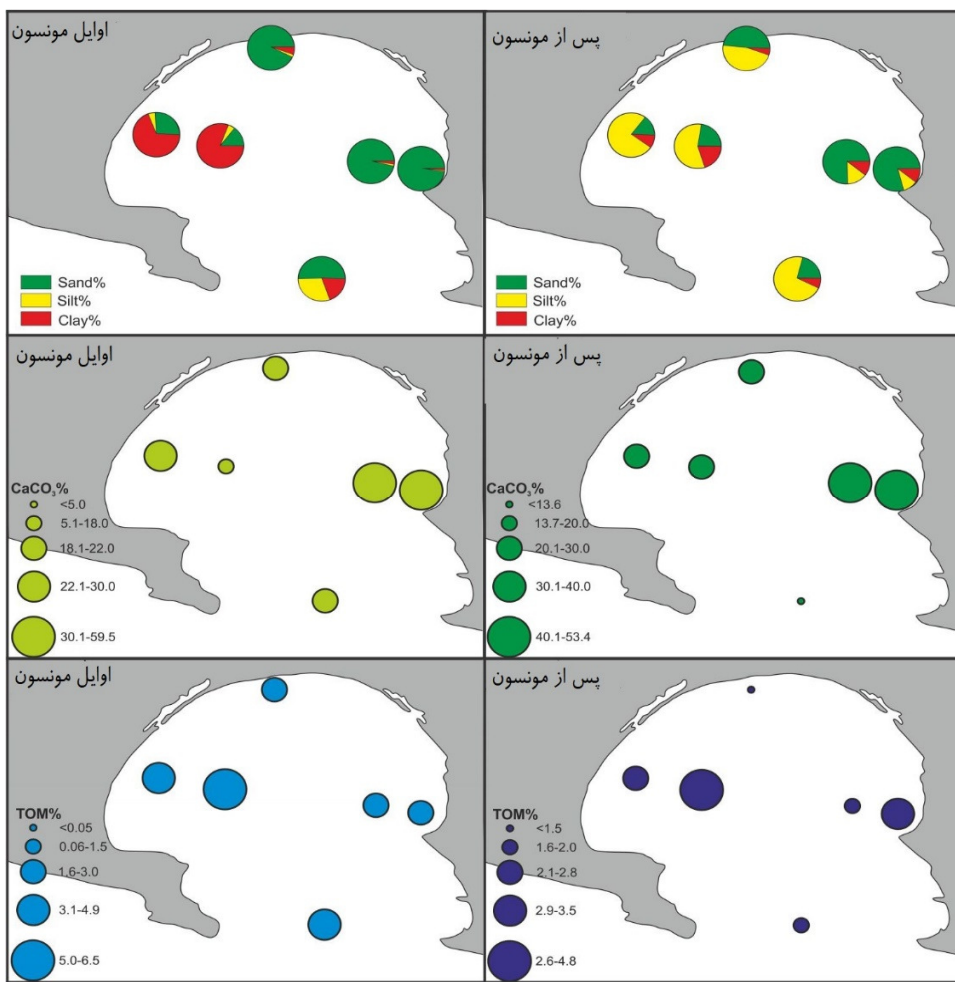
دارای ذرات رس هستند، به طوری که در ایستگاه کنارک ساحلی به طور میانگین ۷۲ درصد و در کنارک عمقی ۸۴/۲ درصد از ذرات رسوب را رس تشکیل می‌دهد؛ ۴) ایستگاه دهانه خلیج که در زمان اوایل مونسون از مخلوط ذرات دانه‌درشت و دانه‌ریز شامل ۴۲/۷ درصد ذرات ماسه و ۵۷/۳ درصد ذرات گل تشکیل شده است. در زمان پس از مونسون خلیج چابهار از نظر رسوب‌شناسی به سه بخش مجزا قابل تفکیک است. ۱) بخش اول دارای مasse زیاد که



شکل ۲. مثلث نام‌گذاری رسوبات خلیج چابهار در اوایل مونسون و پس از مونسون به روش فولک ۱۹۸۰



شکل ۳. نمودار تغییرات دانه‌بندی، مواد آئی و کربنات کلسیم در نمونه رسوبات بخش‌های باختری (K1 و K2) و خاوری (T1 و T2) خلیج چابهار (اوایل مونسون و پس از مونسون)



شکل ۴. توزیع ذرات ماسه، سیلت و رس، کربنات کلسیم و مواد آلی در رسوبات خلیج چابهار (اوایل مونسون و پس از مونسون)

۱-۳- میزان ماسه

به طور کلی مقدار ذرات ماسه در رسوبات بخش خاوری خلیج، ایستگاه‌های تیس ساحلی (T1) و عمقی (T2) بیشتر از بخش‌های دیگر خلیج چابهار است، از این نظر ایستگاه‌های آب شیرین‌کن، دهانه خلیج و کنارک در رده‌های بعدی جای دارند. در بخش خاوری خلیج چابهار (ایستگاه تیس ساحلی و عمقی)، درصد وزنی ماسه بستر در آغاز مونسون بیشتر از پس مونسون است، بهطوری که بافت رسوبات از ماسه به ماسه‌سیلیتی تغییر کرده است. این حالت در دهانه خلیج و سواحل مرکزی و شمالی آن (ایستگاه آب شیرین‌کن) نیز دیده می‌شود. در این ایستگاه‌ها مقادیر ماسه در خرداد ماه $1/5$ تا 3 برابر بیشتر از آذرماه است. در ایستگاه کنارک ساحلی نیز روند افزایش ماسه در زمان مونسون با اختلاف کمتری وجود دارد، اما این روند در ایستگاه کنارک عمقی معکوس است. بدین

بر اساس نقشه‌های توزیع رسوبات (شکل ۴) بهوضوح می‌توان دریافت که بافت رسوبات از ماسه و رس ماسه‌ای در رسوبات اوایل مونسون به سیلت ماسه‌ای پس از مونسون تغییر یافته است. نقشه توزیع مواد آلی (Organic Matter) ایستگاه‌های مورد مطالعه در خلیج چابهار مؤید رفتار معکوس بین مواد آلی و کربنات کلسیم است (شکل ۴). با افزایش اندازه ذرات میزان مواد آلی در رسوبات کاهش و کربنات کلسیم افزایش نشان می‌دهد؛ بر عکس با کاهش اندازه ذرات رسوبی میزان کربنات کلسیم در رسوبات کاهش می‌یابد و به محتوی مواد آلی رسوبات افزوده می‌شود.

با توجه داده‌های جدول ۱ و شکل‌های ۱، ۲ و ۳ می‌توان تغییرات موارد یاد شده در زمان اوایل مونسون و پس از مونسون را به صورت زیر تجزیه و تحلیل کرد.

ایستگاه‌های کنارک و آب شیرین کن بسیار زیاد است، به طوریکه میزان سیلت از کمتر از ۱۰ درصد در زمان مونسون به ۵۰ تا ۸۰ درصد در زمان پس از مونسون می‌رسد. تغییرات منطقه‌ای میزان سیلت در دوره پس مونسون شامل فزوئی این ذرات در بخش باختری نسبت به بخش خاوری خلیج است؛ اما تفاوت ذکر شده، در زمان مونسون قابل توجه نیست. درکل این گونه به نظر می‌رسد، که در زمان مونسون ذرات دانه‌ریز گلی (سیلت و رس) به سمت بخش‌های غربی خلیج جابجا شده‌اند.

معنی که میزان ذرات ماسه در ایستگاه کنارک عمقی در زمان مونسون کمتر از دوره پس از مونسون است (تقریباً ۵۰ درصد).

۲-۳- میزان سیلت

اختلاف فصلی میزان سیلت در رسوبات هر دو قسمت خاوری و باختری خلیج چابهار در تقابل با ذرات ماسه است. بدین ترتیب که، در هر دو بخش خلیج درصد این ذرات در زمان پس‌مونسون به میزان قابل توجهی از زمان اوایل مونسون بیشتر است. این اختلاف بهخصوص در

جدول ۱. مقادیر درصد نسبی ماسه، سیلت، رس، کربنات کلسیم و مواد آلی در نمونه رسوبات اوایل مونسون و پس از آن در خلیج چابهار

جهت آزاد	جهت آزاد	ماسه (%)				سیلت (%)				رس (%)				نوع بافت				جورشگی				کربنات کلسیم (%)				مواد آلی (%)				عمق (متر)
		EM	PM	EM	PM	EM	PM	EM	PM	EM	PM	EM	PM	EM	PM	EM	PM	EM	PM	EM	PM	EM	PM	EM	PM	EM	PM			
T1	۱	۹۹	۷۲	۰/۳	۱۸	۰/۷	۱۰	S	zS	vG	G	۵۶/۸	۵۲/۱	۲/۶	۳												۲/۸			
	۲	۹۸	۶۸	۰/۵	۲۰	۱/۵	۱۲	S	zS	vG	G	۶۴/۷	۵۲/۵	۳	۳															
	۳	۹۴	۷۰	۴/۵	۱۹	۱/۵	۱۱	S	zS	vG	G	۵۶/۹	۵۲/۳	۲/۵	۳															
	میانگین	۹۷	۷۰	۱/۸	۱۹	۱/۲	۱۱	-	-	vG	G	۵۹/۵	۵۲/۳	۲/۷	۳															
T2	انحراف معيار	۲/۶	۲	۲/۴	۱	۰/۵	۱	-	-	-	-	۴/۵	۸/۱	۰/۳	۰													۵/۴		
	۱	۹۶/۵	۷۸	۳	۱۶	۰/۵	۶	S	zS	vG	G	۵۲	۵۲/۴	۱/۷	۱/۹															
	۲	۱۰۰	۷۳	۰	۱۵	۰	۱۲	S	zS	vG	G	۵۶/۸	۵۲/۳	۱/۷	۲/۳															
	۳	۹۸	۷۴	۱/۵	۱۴	۰/۵	۱۲	S	zS	vG	G	۵۶/۹	۵۴/۵	۱/۸	۱/۸															
K1	میانگین	۹۸/۲	۷۵	۱/۵	۱۵	۰/۳	۱۰	-	-	vG	G	۵۵/۲	۵۳/۴	۱/۷	۲															
	انحراف معيار	۱/۸	۲/۶	۱/۵	۱	۰/۳	۲/۵	-	-	-	-	۲/۸	۱/۱	۰/۰	۰/۳															
	۱	۲۵	۱۲	۱	۷۹	۷۴	۹	sC	sZ	G	G	۲۹/۴	۲۲/۹	۴	۲/۵													۲/۴		
	۲	۲۷	۹	۱	۸۱	۷۲	۱۰	sC	cZ	G	G	۳۱/۴	۲۵	۵/۳	۳															
K2	میانگین	۲۵	۲۵	۵	۶۴	۷۰	۱۱	sC	sZ	G	G	۲۶/۵	۲۲/۷	۵/۵	۳															
	انحراف معيار	۱/۲	۸/۵	۲/۳	۹/۳	۲	۱	-	-	-	-	۲/۵	۱/۱	۰/۸	۰/۳															
	۱	۱۱	۲۰	۲	۷۰	۸۷	۱۰	sC	sZ	G	G	۱۷/۲	۲۰/۵	۳/۷	۴/۵												۶/۷			
	۲	۱۲	۲۱	۲/۵	۶۰	۸۵/۵	۱۹	sC	sZ	G	G	۱۷/۲	۲۳/۹	۶/۲	۵															
K2	میانگین	۱۰	۲۲	۱۰	۵۸	۸۰	۲۰	sC	sZ	G	G	۱۹	۱۸/۲	۶	۵															
	انحراف معيار	۱۱	۲۱	۴/۸	۶۲/۷	۸۴/۲	۱۶/۳	-	-	G	G	۱۷/۸	۲۰/۹	۵/۳	۴/۸															
	۱	۱	۴/۵	۶/۴	۳/۷	۵/۵	-	-	-	-	-	۱/۰	۲/۹	۱/۴	۰/۳															
	۲	۷۳	۳۰	۱/۵	۶۳	۲۵/۵	۷	cS	sZ	G	G	۱۷/۶	۲۲/۷	۲/۷	۱/۵													۲/۲		
W	میانگین	۸۰	۴۵	۰/۵	۴۹/۸	۱۹/۵	۴/۷	cS	sZ	rG	rG	۱۹/۶	۲۶/۱	۳/۷	۱															
	انحراف معيار	۹۶	۶۷	۳	۳۰	۱	۳	S	zS	vG	G	۱۹/۶	۲۲/۵	۳	۱/۵															
	۱	۸۳	۴۷/۵	۱/۷	۴۷/۶	۱۵/۳	۴/۹	-	-	G	rG	۱۸/۹	۲۳/۵	۳/۱	۱/۳															
	۲	۱۱/۸	۱۸/۶	۱/۳	۱۶/۶	۱۲/۸	۲/۰	-	-	-	-	۱/۲	۲/۰	۰/۵	۰/۳													۱۳/۱		
D	میانگین	۶۲	۲۱	۲۰	۷۰	۱۸	۹	mS	sZ	rG	rG	۲۲/۵	۱۳/۶	۴	۲/۱															
	انحراف معيار	۳۶	۲۵	۲۱/۵	۶۷	۴۲/۵	۸	sC	sZ	M	rG	۱۷/۶	۱۴	۴/۵	۲/۳															
	۱	۳۰	۱۵	۵۰	۸۰	۲۰	۵	sM	sZ	M	G	۱۶/۹	۱۳/۲	۴	۱/۷															
	۲	۴۲/۷	۲۰/۳	۳۰/۵	۷۲/۳	۲۶/۸	۷/۳	-	-	M	G	۱۹	۱۳/۶	۴/۲	۲/۳															

نام‌گذاری رسوبات: S: ماسه، ZS: ماسه‌گلی، cS: ماسه‌گلی، mS: ماسه‌گلی، sZ: ماسه‌گلی، rG: خیلی خوب، G: خوب، M: نسبتاً خوب، PM: متوسط. EM: اوایل مونسون، W: اوایل مونسون

ماسه‌ای. میزان جورشگی رسوبات: G: خیلی خوب، G: خوب، M: نسبتاً خوب، PM: متوسط. EM: اوایل مونسون

مونسون

است. این امر به دلیل شسته شدن ذرات دانه ریز سیلت و رس از رسوبات و غلبه رسوبات ماسه‌ای در زمان مونسون است. این امر تا حدودی در ایستگاه آب شیرین‌کن نیز نمایان است. اما در ایستگاه کنارک جورشدگی خوب نمونه‌ها در دو زمان مورد بررسی، تغییر نکرده که حاکی از اثر کم مونسون بر این قسمت از خلیج است. برخلاف موارد قبل، در دهانه خلیج، جورشدگی متوسط رسوبات اوایل مونسون به بعد از مونسون افزایش یافته است. دلیل آن را می‌توان انتقال رسوبات دانه‌ریز ساحلی به این بخش در زمان مونسون ذکر کرد که موجب اختلاط رسوبات ماسه‌ای و گلی در این ناحیه نسبتاً عمیق می‌گردد.

۴- بحث

بررسی توزیع دانه‌بندی رسوبات اهمیت زیادی در شناخت مکانیزم‌های انتقال رسوبات و تغییرات انرژی محیط رسوبی دارد. حرکت ذرات رسوبی توسط شرایط محیطی کنترل می‌گردد و با کاهش شدت جریان به تدریج ذرات در اندازه‌های مختلف از یکدیگر جدا شده و تنهشین می‌شوند (موسوی‌حرمی، ۱۳۸۸). رسوبات آواری به همراه پوسته‌های صدفی اجزای اصلی رسوبات ساحلی منطقه را تشکیل می‌دهند (حمزه و همکاران، ۱۳۹۳). رسوبات آواری حاصل فرسایش واحدهای گلسنگی و ماسه‌سنگی اطراف خلیج چابهار و انتقال آنها توسط رودخانه‌های فصلی، باد و سایش مکانیکی صخره‌های ساحلی توسط امواج، بهخصوص در فصل مونسون هستند. پس از تنهشست در سواحل و خلیج چابهار، شدت امواج غالب ساحلی در زمان‌ها (پیش مونسون- مونسون- پس مونسون) و مکان‌های (ایستگاه‌های مختلف خلیج چابهار) مختلف، توزیع و پراکنش این رسوبات را در خلیج چابهار تحت تاثیر قرار می‌دهد. در مطالعه‌ای که توسط محمدی و همکاران (۱۳۸۶) در رسوبات بستر خلیج چابهار انجام شد، ۹ تیپ رسوبی (فولک، ۱۹۸۰). شامل گرانول، ماسه، ماسه گلی و سیلتی، سیلت و سیلت ماسه‌ای، گل و گل ماسه‌ای و رس ماسه‌ای در خلیج چابهار شناسایی شد. در پژوهش حاضر نیز ۸ نوع بافت رسوبی مشاهده گردید که ۵ نوع آن در نمونه‌های اوایل مونسون و ۳ نوع آن مربوط به نمونه‌های پس از مونسون است. تنوع اندازه ذرات (قطر کمتر از ۶۳ میکرون تا بیش از ۲ میلی‌متر) در خلیج چابهار نشان دهنده گستره وسیع انرژی امواج در خلیج چابهار در زمان

۳-۳- میزان رس

میزان رس در بخش باختری خلیج در زمان مونسون بسیار بیشتر از پس مونسون است، اما این تفاوت در بخش خاوری چندان محسوس نیست. با توجه به شکل ۴، غنی‌شدگی و افزایش چشمگیر مقادیر ذرات رس در نواحی باختری (ایستگاه کنارک) و عمیق (دهانه خلیج) کاملاً آشکار است. این‌گونه بهنظر می‌رسد، این امر در اثر انتقال و جابجایی رسوبات دانه‌ریز به صورت معلق به بخش‌های میانی (ایستگاه آب شیرین‌کن) و عمیق (دهانه خلیج) و همچنین بخش‌های باختری خلیج (K1 و K2) که در پناه دماغه کنارک هستند باشد.

۴-۳- میزان کربنات کلسیم

تغییرات فصلی در صد حجمی کربنات کلسیم در هیچ‌کدام از دو منطقه باختری و خاوری تفاوت چشمگیری نشان نمی‌دهد. از دیدگاه منطقه‌ای، در صد حجمی کربنات کلسیم در هر دو فصل اوایل مونسون و پس از مونسون در بخش خاوری بیشتر از بخش باختری است. میزان کربنات کلسیم در رسوبات خلیج چابهار دارای همبستگی مثبت با مقدار ماسه موجود در این رسوبات است. در دو ایستگاه تیس ساحلی و عمیق، میزان کربنات کلسیم از ایستگاه‌های دیگر بیشتر است که با افزایش در صد ماسه همراه است. بهنظر می‌رسد بخش اعظم میزان کربنات کلسیم بصورت خردده‌های صدفی در رسوبات حضور دارد که از این جهت همبستگی خوبی با ذرات دانه‌درشت دارد.

۵- میزان مواد آلی

بیشترین مقدار مواد آلی در ایستگاه‌های کنارک ساحلی و عمیق اوایل مونسون و کمترین مقدار آن در ایستگاه‌های تیس عمیق و ساحلی در هر دو دوره زمانی مشاهده می‌شود. از طرفی، رسوبات بخش غربی خلیج در هر دو فصل حاوی مقادیر بیشتری از مواد آلی نسبت به بخش باختری آن است. تغییرات میزان مواد آلی عکس میزان کربنات کلسیم است که حاکی از تجمع آن در بافت دانه‌ریز دارد.

۶- میزان جورشدگی

در ایستگاه تیس، میزان جورشدگی خوب نمونه‌های قبل از مونسون به خیلی خوب در زمان مونسون تغییر یافته

یا کناره‌های حوضه که در پناه دماغه قرار دارد (ساحل کنارک) حرکت می‌کنند. مشابه این رویداد در سواحل اورما را پاکستان نیز گزارش شده است (اسنید، ۱۹۶۷). با توجه به مکانیزم ذکر شده انتقال رسوب و تغییرات ریخت‌شناسی سواحل در زمان مونسون و پس از آن بررسی می‌گردد.

۱-۴- زمان مونسون جنوب باختری

مونسون جنوب باختری در جنوب باختری آسیا (هندری، پاکستان و نواحی هم‌جوار تا مرز ۳۰ درجه شمالی) معرف بارش‌های سیل‌آسا به همراه وزش بادهای شدید از سمت جنوب باختری به شمال خاوری است (سینگ و اووه جانی، ۲۰۰۷). در منتهی‌الیه جنوب خاوری ایران این دوره تنها با وزش بادهای شدید و مواج شدن دریای عمان شناخته می‌شود. امواج حاصل از این بادهای موسمی در ابتدا به صورت امواج جنوب باختری است که در زمان اوج آن در تابستان به صورت امواج جنوب-جنوب خاوری سواحل منطقه را در می‌نوردند (ساخت و اعتماد شهیدی، ۲۰۱۲) (شکل ۵). به طور کلی نقش امواج حاصل از مونسون تابستانه بر سواحل باختری و جنوبی دریای عمان در ایران، پاکستان و شبه قاره هند فراسایشی است (کانوال و همکاران، ۲۰۲۰؛ شمجی و همکاران، ۲۰۱۰). این امواج موجب کاهش ارتفاع و شبیه و همچنین مسطح شدگی پشت‌های ماسه‌ای در سواحل می‌گردد. بر عکس پس از کاهش قدرت امواج مونسون رژیم افزایشی در سواحل ماسه‌ای دیده می‌شود. در این حالت انواع ریخت‌شناسی مرتبط با افزایش آورد ماسه ساحلی مانند پشت‌های ماسه‌ای^۴، سدهای ماسه‌ای^۵ و خاکریزهای ماسه‌ای^۶ را در سواحل منطقه ایجاد می‌کند (حمزه و همکاران، ۱۳۹۳) (آفرین و همکاران، ۲۰۱۵). اسنید (۱۹۶۷) نشان داد عملکرد امواج مونسون منجر به از بین رفتن پشت‌های ساحلی در سواحل رو به جنوب باختری و نهشته شدن رسوبات در سواحل رو به جنوب خاوری در سواحل دو سمت رأس اورما را در پاکستان شده است. این تغییرات نوار ساحلی همچنین منجر به حرکت پشت‌های ماسه‌ای بادی نیز می‌گردد. در سواحلی که در آن‌ها امواج مونسون موجب عقب راندگی ساحل می‌گردند، پشت‌های ماسه‌ای بادی نیز

و مکان‌های مختلف است (جدول ۱). مواد آلی موجود در رسوبات نقش مهمی در خصوصیات فیزیکی، شیمیایی و بیولوژیکی رسوبات دارند. برخی خواص رسوبات که توسط مواد آلی تحت تاثیر قرار می‌گیرند شامل ساخت رسوب، قابلیت نشست و مقاومت پرشی می‌باشند. بعلاوه، این مواد میزان مواد مغذی رسوبات را نیز کنترل می‌کنند. از دیدگاه رئوژیمی زیست‌محیطی، مهم‌ترین عملکرد مواد آلی موجود در رسوبات، اثر آن‌ها بر روی جذب عناصر سمی موجود در ستون آب می‌باشد. از این‌رو، تعیین میزان این مواد در رسوبات بسیار با اهمیت می‌باشد.

تشکیل سواحل هلالی شکل در تمامی سواحل شمالی دریای عمان در ایران و پاکستان یکی از نتایج رژیم متنوع امواج در سواحل این نواحی است (اسنید، ۱۹۶۷؛ شاه‌حسینی، ۲۰۱۸). در حقیقت سواحل صخره‌ای مرتفع که در میان آن‌ها نواحی کم ارتفاع محصور شده‌اند، مستعد ایجاد خلیج‌های هلالی شکل^۱ یا گوش ماهی شکل^۲ هستند (اسنید، ۱۹۶۷). در این سواحل صخره‌ها بصورت بخش‌های نسبتاً ثابتی عمل می‌کنند که سواحل مابین آن‌ها در اثر امواج شدید جنوب‌خاوری و جنوب‌باختری بر اساس قانون شکست امواج دچار فرسایش و رسوب‌گذاری متناوب می‌گردد (هسو، ۲۰۰۵). هنگامی که امواج به داخل خلیج وارد می‌شوند دچار شکست شده و سریعاً به صورت جریان موازی ساحل در می‌آیند. از آنجا که جهت امواج شکسته داخل خلیج به صورت واگر است، انرژی موج کاهش می‌یابد و رسوب‌گذاری انجام می‌شود. این امواج به صورت مورب به ساحل برخورد می‌کنند موج ایجاد جریان موازی با ساحل می‌گردد که به نوبه خود منجر به انتقال رسوبات طی فرایند رانش کرانه‌ای^۳ می‌شوند (بشد، ۲۰۱۱). این پدیده در شرایط عادی در سواحل خلیج چابهار منجر به انتقال رسوبات در امتداد ساحل (انتقال رسوبات به سمت چپ در بخش باختری خلیج و به سمت راست در بخش خاوری خلیج) می‌گردد. وجود زبانه‌های رسوبی در حال گسترش به سمت چپ در بخش باختری خلیج و بالعکس در سواحل خلیج چابهار گواه این مدعاست (آفرین و همکاران، ۲۰۱۵). در فصل مونسون با توجه به قدرت بسیار زیاد امواج، رسوبات ساحلی توسط امواج شسته شده و بخش‌های کم انرژی تر مرکز حوضه (ایستگاه دهانه خلیج)

⁴ Ridge

⁵ Bar

⁶ Berm

¹ Lunate

² Scalloped

³ Longshore drift

رسوبات آهکی فراوان ترین رسوبات شیمیایی هستند و اغلب با مواد دیگر به خصوص رس یا ماسه مخلوط و خیلی کم به صورت خالص دیده می‌شوند. منبع اصلی کربنات کلسیم رسوبات در خلیج چابهار از خردۀ صدف‌های نرم‌تنان، دوکفه‌ای‌ها، خارپستان، پوستهٔ خرچنگ‌ها، بریوزوا و ریف‌های مرجانی است (احراری‌رودی، ۱۳۹۲؛ امینی یکتا و همکاران، ۱۳۹۲). این خردۀ صدف‌ها علت اصلی فراوانی کربنات کلسیم در ایستگاه‌های تیس و آب شیرین کن به خصوص در زمان مونسون هستند. میزان کربنات کلسیم در رسوبات این دو ایستگاه، ارتباط مستقیمی با محتوای ماسه دارد که دارای خردۀ صدف‌های فراوانی هستند (نیتروپر و رایت، ۱۹۹۴؛ رینیک و سینگ، ۱۹۸۰؛ زئوسوس و همکاران، ۲۰۰۷). ایستگاه‌های بخش خاوری خلیج چابهار (تیس ساحلی و تیس عمقی) نسبت به ایستگاه‌های بخش باختری (کنارک ساحلی، کنارک عمقی) و مرکزی (آب شیرین کن و دهانه خلیج) امواج مونسون تابستانی یا جنوب باختری بیشتر و باشدت زیادتری را تجربه می‌کنند که بر جای ماندن و فراوانی رسوبات دانه‌درشت ماسه‌ای در این ایستگاه‌ها را در زمان مونسون به دنبال دارد (شکل‌های ۳ و ۴). امواج شدید حاصل از رویداد توفان حراره‌ای گونو در سال ۱۳۸۶ نیز اثرات مشابهی با رویداد مونسون بر سواحل ایرانی دریای عمان بجای گذاشت که شامل تخریب پسته‌های ساحلی و بر جای گذاشتن ذرات رسوبی درشت در سواحل است (صالحی‌پور میلانی و همکاران، ۱۳۹۱). با توجه به اینکه ایستگاه‌های کنارک ساحلی و عمقی و ایستگاه آب شیرین کن در پشت دماغه کنارک و حوضچه آرامش اسکله صیادی کنارک واقع شده‌اند، به دلیل آرامش نسبی آب در این بخش از خلیج، بیشتر رسوبات دانه‌ریز سیل و رس تنفسی شده و بافت رسوبی عمدتاً دانه‌ریز رسی در ایستگاه‌های کنارک ساحلی و عمقی مشهود است (شکل‌های ۳ و ۴). در زمان بعد از مونسون با توجه به روند و شدت فعالیت جریان مونسون جنوب باختری در ایستگاه‌های مورد مطالعه در خلیج چابهار، میزان کربنات کلسیم در رسوبات ایستگاه‌های کنارک عمقی نسبت به ایستگاه‌های دیگر کاهش یافته است. هم‌چنین، در زمان مونسون در ایستگاه‌های کنارک ساحلی و عمقی، مقادیر رسوبات دانه‌ریز عمدتاً رسی و سیلی نسبت به رسوبات

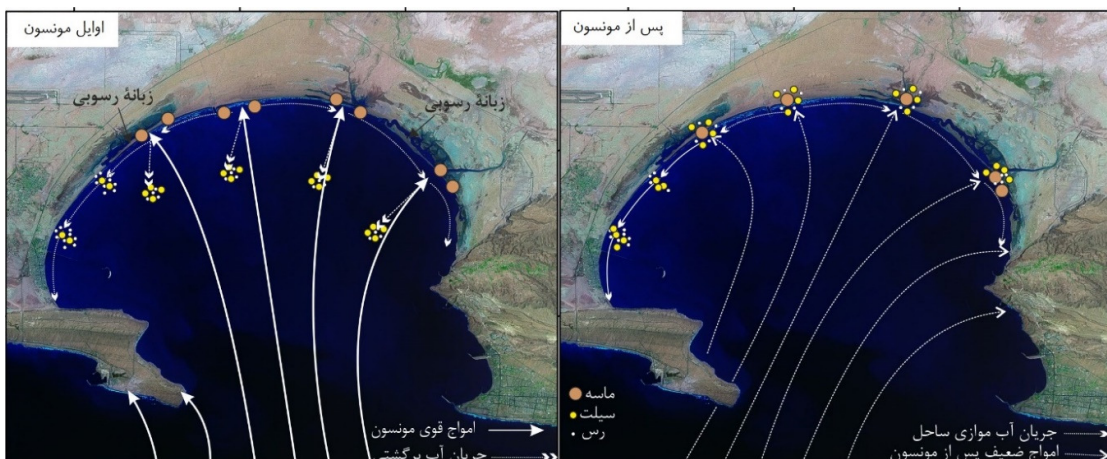
به سمت خشکی حرکت می‌کنند. در خلیج چابهار این امواج موجب فرسایش ساحل در مناطقی می‌گردد که کمتر توسط موانع طبیعی مانند دماغه‌ها محافظت می‌گردد (مانند بخش خاوری و مرکزی خلیج). بنابراین، در فصل تابستان و در نواحی تیس و آب شیرین کن فرسایش سواحل و پرتگاه‌های ساحلی موجب برداشته شدن اغلب رسوبات دانه‌ریزتر و حمل آن‌ها به نواحی عمیق‌تر (بخش مرکزی و باختری خلیج) توسط امواج برگشتی یا موازی ساحل^۷ می‌گردد (شکل‌های ۵ و ۶). این فرایند به نوبه خود منجر به بر جای ماندن رسوبات دانه درشت‌تر (اغلب ماسه‌ای) در این نواحی نسبت به زمان‌های قبل و یا پس از مونسون می‌شود. در نواحی عمیق‌تر دور از ساحل مانند دهانه خلیج اثر این امواج در درشت‌تر نمودن بافت رسوبی، هر چند کمتر، ولی قابل رویت است (شکل ۵). افزایش میزان ماسه در نمونه‌های تیس و آب شیرین کن در زمان مونسون گواهی بر سازوکار ارایه شده در بالاست.

بر عکس حالت فوق، در این زمان، رسوبات بخش باختری خلیج که در پناه دماغه کنارک واقع شده‌اند، نه تنها دانه درشت‌تر نگرددیده، بلکه میزان رس موجود در آن‌ها افزایش چشم‌گیری پیدا کرده است. به نظر می‌رسد این بخش از خلیج در زمان مونسون به دلیل قرارگیری در پشت دماغه کنارک کمتر تحت تأثیر امواج مونسون قرار گرفته است. از طرف دیگر امواج موازی خط ساحلی رسوبات دانه‌ریز فرسایش یافته از بخش‌های دیگر خلیج را در این منطقه نسبتاً آرام بر جای می‌گذارند. تشکیل تعدادی زبانه ماسه‌ای^۸ (آفرین و همکاران، ۲۰۱۵) در مصب خورهای خلیج نیز که تحت تأثیر امواج هستند، گواهی بر عملکرد قوی این جریان‌ها در منطقه است (شکل ۵). به نظر می‌رسد جریان موازی ساحل در بخش خاوری خلیج نیز وجود دارد (به دلیل تشکیل زبانه ماسه‌ای در مصب خور رود شور)، اما به دلیل شدت امواج جنوب مونسونی در این ناحیه، نمی‌تواند رسوب گذاری اجزای دانه‌ریز را در این بخش انجام دهد. مشاهدات میدانی و نیمرخ ساحلی (شکل ۶) نیز نشان می‌دهد در زمان مونسون فرسایش سواحل توسط امواج، موجب شکل‌گیری نیمرخ مقعر در سواحل به خصوص در نواحی تحت اثر امواج (تیس و آب شیرین کن) می‌گردد.

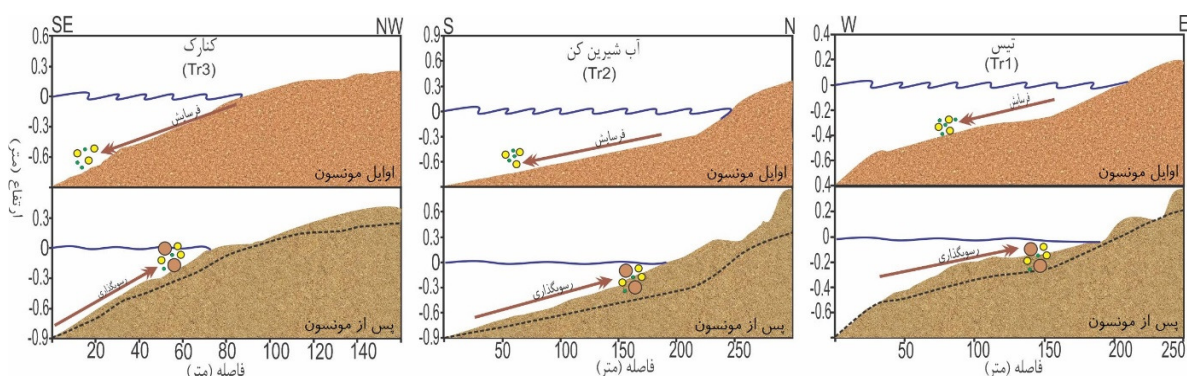
⁸ Sandspit⁷ Longshore currents

و دهانه خلیج در زمان مونسون بیشتر از دوره زمانی پس از مونسون است، که به دلیل بافت دانه‌ریزتر رسوبات (بافت عمدها ریز) در این ایستگاه‌ها در زمان مونسون می‌باشد (شکل ۴). این داده‌ها توسط نتایج تحقیق امینی یکتا و همکاران (۱۳۹۲) در خلیج چابهار تأیید می‌گردند.

پس از مونسون این دو ایستگاه بیشتر می‌باشد، که دلیلی بر کاهش مقادیر کربنات کلسیم و افزایش مواد آلی در رسوبات ایستگاه‌های کنارک ساحلی و عمقی نسبت به زمان پس از مونسون نیز است. با توجه به نقشه پراکندگی مواد آلی، تمرکز مواد آلی در رسوبات ایستگاه‌های کنارک



شکل ۵. نوع امواج و سازوکار توزیع نوع رسوبات خلیج چابهار در زمان مونسون و پس از مونسون



شکل ۶. نیمرخ‌های ساحلی برداشت شده در زمان مونسون و پس از آن در سه برش عمود بر ساحل. نیمرخ ساحلی زمان مونسون به صورت خط‌چین جهت مقایسه بر روی نیمرخ پس از مونسون رسم شده است. علاوه بر رفته برای فرسایش و رسوب‌گذاری ذرات ماسه، سیلت و رس با شکل ۴ یکسان است.

رسوب‌گذاری به صورت پشت‌های محدب با توپوگرافی خشن‌تر می‌شود. بازدیدهای میدانی نیز از ایجاد خاکریزهای ماسه‌ای در سواحل منطقه پس از مونسون حکایت دارد (شکل ۶). این رسوب‌گذاری‌ها منجر به افزایش میزان سیلت در رسوبات ساحلی و کاهش میانگین قطر ذرات و میزان جورش‌گی می‌شود که در شکل ۳ قابل رویت است.

۴-۲-۴- پس از مونسون جنوب باختیری
مونسون اقیانوس هند در فصل زمستان با وزش بادهای معکوس (شمال خاوری) با شدت بسیار کمتر از مونسون تابستانه معرفی می‌گردد. مقایسه این بادها با امواج غالب اقیانوسی^۱ موجب شکل‌گیری امواج ضعیف ساحلی در زمان پس از مونسون در خلیج چابهار می‌شود. این امواج کم انرژی محیط بسیار آرامی در خلیج چابهار ایجاد می‌کنند و همچنان که در شکل ۵ قابل مشاهده است، موجب

^۱ Ocean swell

- ۲- فقر پوشش گیاهی مانند جنگل‌های مانگرو یا بوته‌زارهای ساحلی در این نواحی نقش مهمی در تشیدید این فرایندهای تغییرات سریع ریخت‌شناسی ایفا می‌کند.
- ۳- نتایج این بررسی بیانگر نقش بارز مونسون تابستانه در تغییرات رسوب‌شناسی و ریخت‌شناسی نوار ساحلی شمال دریای عمان است. در این خصوص مورفولوژی اولیه سواحل عمدهاً صخره‌ای منطقه در این مورد نقش بسیار مهمی دارد. در طول دوره مونسون تابستانه، امواج قوی‌ای که از سمت جنوب-جنوب‌خاوری به سواحل برخورد می‌کنند، سواحل بدون پناهگاه به شدت تحت تاثیر قرار می‌گیرند. در همین زمان سواحلی که در پناه جلوآمدگی‌های طبیعی (دماغه) یا مصنوعی (موج شکن‌ها و اسکله‌ها) هستند کمتر دچار فرسایش شده یا حتی در آن‌ها رسوب‌گذاری انجام می‌شود.
- ۴- در دوره پس از مونسون، رسوب‌گذاری عظیم چهره سواحل را شدیداً دگرگون می‌کند و پشت‌های سدها و خاکریزهای ساحلی در سواحل ایجاد می‌کند.
- ۵- گسترش این پشت‌های ساحلی توسط تنشست حجم عظیمی از رسوبات و فرسایش مجدد آن موجب می‌گردد بسیاری از موجودات بستریزی به دلیل از بین رفت و تدفین متواتی محیط زیست خود، قدرت زیست در این نواحی را نداشته باشند.
- ۶- این تغییرات در خط ساحلی همچنین می‌تواند اثرات مخربی بر سازه‌های ساحلی و فراساحلی داشته باشد. لذا لزوم انجام مطالعات دقیق رسوب‌شناسی و فیزیک در پی‌قبل از احداث سازه‌های ساحلی و حتی دریایی در این نواحی پرونوسان رسوب‌شناسی و زمین ریخت‌شناسی بسیار حیاتی و با اهمیت است.

سپاسگزاری

این تحقیق برگرفته از طرح تحقیقاتی با عنوان "پاییش محیطی حوضه دریایی عمان" انجام گرفته در پژوهشگاه ملی اقیانوس‌شناسی و علوم جوی (کد: ۳۹۲-۰۲۱-۰۱) است. نویسنده‌گان بر خود لازم می‌دانند تا از همکاران پژوهشی مشارکت کنند در آن طرح تحقیقاتی و همچنین کارشناسان مرکز اقیانوس‌شناسی چابهار (دریایی عمان و اقیانوس هند) تشکر و قدردانی بعمل آورند. همین‌طور از داوران بسیار عزیز و محترم که با نظرات و پیشنهادات

۳-۴- اثرات مونسون بر محیط طبیعی و سازهای ساحلی

به‌طور کلی و از آن‌جایی که بخش زیر جزرومدی کرانه‌های باختی و خاوری خلیج چابهار دارای اختصاصات رسوب‌شناسی متفاوت و عمدهاً معکوس هستند، این دو بخش اثرات متفاوتی بر محیط طبیعی و زیرساخت‌های ساحلی دارند. بخش خاوری خلیج چابهار (سواحل و ایستگاه‌های تیس) نرخ رسوب‌گذاری کمتری را متحمل می‌گردد و از این جهت سازه‌های ساحلی آن کمتر نیازمند لایروبی هستند. همچنان که در تصاویر ماهواره‌ای نیز قابل مشاهده است، دو سمت اسکله‌های سپاه و اسکله شهید کلانتری رسوب‌گذاری و ایجاد سواحل پیش‌رونده مشاهده نمی‌گردد. همچنین، این منطقه به دلیل بافت رسوبی دانه‌درشت‌تر و با ذرات معلق کمتر میزان زیستگاه‌های مرجانی است (لقمانی و صادقی، ۱۳۹۴). بخش بین جزرومدی سواحل این نواحی پرشیب‌ترند و از ذرات درشت‌تری تشکیل شده‌اند و همچنین تغییرات ریخت‌شناسی آن‌ها در فصول مختلف سال شدیداً دچار تغییر می‌گردند. حاصل این تغییرات کاهش تجمع جانداران بستریز است (فاروق و ارشد، ۲۰۱۰). بالعکس در سوی دیگر خلیج و در سواحل کنارک رسوب‌گذاری ذرات دانه‌ریز به میزان قابل ملاحظه‌ای انجام می‌گردد که موجب رسوب‌گذاری به خصوص در بخش شمالی اسکله‌ها می‌گردد. تجمع رسوبات و ایجاد سواحل کم شیب در شمال اسکله کنارک نیز به خوبی در تصاویر ماهواره‌ای قابل رویت است. این سواحل کم شیب و دانه‌ریزتر با مواد آلی بیش‌تر، بستری مناسب جهت رشد میگو ایجاد کرده‌اند (آزیر، ۱۳۸۸). تغییرات ریخت‌شناسی نواحی بین جزرمدی در این نواحی به نسبت بخش دیگر کمتر است و از این جهت جانداران بستریزی بیش‌تری در این محیط قابلیت زیست دارند.

۵- نتیجه‌گیری

۱- سواحل ایرانی دریایی عمان محیط بسیار مناسبی جهت شناخت نقش متقابل فرایندهای تکتونیکی، آب و هوایی و اقیانوس‌نگاری است. در این نواحی فرایندهای هوازدگی، فرسایش و انتقال رسوبات ساحلی در یک محیط ساحلی بالارونده از دیدگاه تکتونیکی بطور فعال در حال انجام است.

- سال ۱۳۸۶-۱۳۸۵. نشریه اقیانوس‌شناسی، شماره ۹، بهار ۶۹-۷۷، ص ۱۳۹۱.
- لقمانی، م، صادقی، پ (۱۳۹۴) بررسی پراکنش و تنوع مرجان‌های سخت (Hard Corals) در خلیج چابهار (دریای عمان). فصلنامه علمی پژوهشی محیط‌زیست جانوری. سال هفتم، شماره ۴. ص ۱۰۵-۱۱۶.
- لقمانی، م، سواری، ا، دوست‌شناس، ب، ارجمنگی، ب، کبیری، ک (۱۳۹۵) بررسی اثر مانسون بر الگوهای تنوع زیستی پرتابان پهنه زیر جزر و مدي خلیج چابهار (دریای مکران)، نشریه اقیانوس‌شناسی، شماره ۲۵، بهار ۱۳۹۵، ص ۱۳-۲۲.
- لک، ر (۱۳۷۹) بررسی های دریایی و ویژگی‌های رسوبی خلیج چابهار، پایان‌نامه کارشناسی ارشد، دانشگاه آزاد اسلامی واحد تهران شمال، ۱۶۰ ص.
- محمدی، ع، لک، ر، بهبهانی، ر، درویشی‌خاتونی، ج (۱۳۹۲) رسوب‌شناسی و اکولوژی خورهای دریای عمان (سواحل ایرانی). سی و دومین گردهمایی و تختستین کنگره بین‌الملل تخصصی علوم زمین، ۲۷-۳۰ بهمن ۱۳۹۲.
- محمدی، ع، لک، ر، هوشمند، ح، معینی (۱۳۸۶) ژئوشیمی رسوبی خلیج چابهار. بیست و ششمین گردهمایی علوم زمین، تهران، ۸ ص.
- محمدی، ع، درویشی‌خاتونی، ج (۱۳۹۱) رسوب‌شناسی و بررسی تغییرات خط ساحلی خلیج چابهار بر اساس مطالعه مغزه‌های رسوبی. سی و یکمین گردهمایی علوم زمین، تهران، ۷ ص.
- محمدی، ع، لک، ر، شیدنیا، ش (۱۳۸۵) بررسی منشا آводگی‌های زیستمحیطی خلیج چابهار براساس مطالعه رسوبات بستر خلیج، بیست و پنجمین گردهمایی علوم زمین، تهران، ۶ ص.
- محمدی، ع (۱۳۸۶) بررسی رسوب‌شناسی و ژئوشیمی رسوبی خلیج چابهار مقیاس ۱:۵۰۰۰۰. گزارش داخلی سازمان زمین‌شناسی و اکتشافات معدنی کشور، مدیریت زمین‌شناسی دریایی، ۸۷ ص.
- موسوی‌حرمی، ر (۱۳۸۸) رسوب‌شناسی، انتشارات آستان قدس رضوی، ۵۸۶ ص.
- نیکویان، ع، ر (۱۳۸۰) برآورد پتانسیل صید کفزیان در خلیج چابهار از طریق محاسبه تولید ثانویه ماکرونتوزها. مجله علمی شیلات ایران، سال دهم، شماره ۶، ص ۷۷-۱۰۲.
- نیکویان، ع (۱۳۷۶) بررسی تراکم، پراکنش، تنوع و تولید ثانویه بی‌مهرگان کفزی (ماکرونتوزها) در خلیج چابهار. رساله دکتری، دانشگاه آزاد اسلامی. ۱۹۵ ص.
- Afarin, M., Hamzeh, M. A., Negarestan, H (2015) Sedimentological and Geomorphological Classification of Chabahar Coastal Area

علمی و بسیار مهم خویش به ارتقای سطح علمی و کیفی این مقاله افزودند، نهایت قدردانی ابراز می‌گردد.

منابع

- احراری‌رودی، م (۱۳۹۲) نقش تکتونیک در رسوب‌گذاری و مورفو‌لولی پادگانهای ساحلی دریای مکران. همایش ملی زمین‌ساخت ایران، سازمان زمین‌شناسی و اکتشافات معدنی کشور، تهران.
- آذرب، م. ت (۱۳۸۸) بررسی برخی از خصوصیات زیستی شاه میگو (*homarus Panulirus*) به منظور بهینه‌سازی زمان صید در سواحل سیستان و بلوچستان. مؤسسه تحقیقات شیلات ایران، مرکز تحقیقات شیلاتی آب‌های دور. ۶۳ ص.
- امینی‌یکتا، ف، آگاه، ه، آقاچان‌پور، ف، صالح، الف، جلیلی، م، حکمت‌آرا، م، صادقی، پ، واحد‌سمیعی، ج، حمزه، م، ع (۱۳۹۳) پراکنش رده‌های بی‌مهرگان کفزی در مناطق زیر جزر و مدي خلیج چابهار و آب‌های اطراف با تأکید بر تأثیر عوامل محیطی. نشریه اقیانوس‌شناسی، ۵ (۱۸): ۲۹-۳۷.
- توتونی، م، سواری، الف، دوست‌شناس، ب، سخایی، ن، اژدری، د (۱۳۹۵) اثر مانسون بر بیلان انرژی دوکفه‌ای *Azumapecten ruschenbergerii* (دریای عمان). نشریه اقیانوس‌شناسی، ۲۶ (۱۰): ۹۹-۱۰۸.
- حبیبی، ف (۱۳۷۹) بررسی تاثیر مانسون هند بر روی ایران. پژوهش‌های جغرافیایی، شماره ۳۹، ص ۴۵-۲۹.
- حمزه، م. ع، بسلکله، غ، و حبیبی، پ (۱۳۹۳) بررسی ژئوشیمیایی رسوبات سواحل دریای عمان با استفاده از سیستم اطلاعات جغرافیائی (GIS)، (فاز اول: چابهار تا گواتر). پژوهشگاه ملی اقیانوس‌شناسی و علوم جوی. کد: ۰۱-۲۱۰-۰۲۱.
- رحمی‌زاده، ن (۱۳۷۸) روش مطالعه و کاربرد تجهیزات نمونه برداری و آزمایشگاهی در بررسی‌های رسوب‌شناسی. گزارش داخلی سازمان زمین‌شناسی کشور، ۱۵۰ ص.
- صالحی‌پورمیلانی، ع، نژاد‌افضلی، ک، بیاناتی، ف (۱۳۹۱) بررسی توفان گونو و تاثیرات آن بر ژئومورفو‌لولی خطوط ساحلی دریای مکران با استفاده از سنجش از دور. نشریه علوم زمین ۸۳، ص ۲۳-۳۲.
- کمیجانی، ف، چگینی، و، بنازاده ماهانی، م، سنجانی، م، س (۱۳۹۰) بررسی تغییرات فیزیکی آب‌های خلیج چابهار در مونسون زمستانه (۱۳۸۶-۱۳۸۵). مجله فیزیک زمین و فضا، دوره ۳۷، شماره ۴، ص ۱۹۵-۲۱۶.
- کمیجانی، ف، چگینی، و (۱۳۹۱) تحلیل فضایی و میدانی کمیت‌های فیزیکی آب خابج چابهار در مونسون زمستانه

- Gharibreza, M. R., and Motamed, A (2006) Late Quaternary Paleoshorelines and Sedimentary Sequences in Chabahar Bay (Southeast of Iran). *J. Coast. Res.*, 226: 1499–1504.
- Gerber, U (2004) Sample preparation for the laser particle sizer "analysette 22".
- Heiri, O., Lotter, A. F., Lemcke, G (2001) Loss on ignition as a method for estimating organic and carbonate content in sediments: Reproducibility and comparability of results: *Journal of Paleolimnology*, 25: 101-110.
- Hsu, J. R. C (2005) Engineering applications of coastal geomorphology. Encyclopedia of Coastal Science. Dordrecht, The Netherlands: Springer, 415-419.
- Jackson, M. L (1956) Soil chemical analysis: advanced course: Published by the author, Madison, Wis.
- Kanwal, S., Ding, X., Sajjad, M. and Abbas, S (2020) Three decades of coastal changes in Sindh, Pakistan (1989–2018): A geospatial assessment. *Remote Sensing*, 12(1): 8
- Krumbein, W. C (1938) Frequency distributions of sediments and normal phi curves: *Journal sedimentary petrology*. 18: 84-90.
- Lewis, D. W., and Mc Conchie, D (1994) Analytical sedimentology, Chapman and Hall, London, UK, 197p.
- Merkus, H., G (2009) Particle Size Measurements: Fundamentals, Practice, Quality. Springer Netherlands: 17 (1): 534p.
- Muller, G. and Gatsner, M (1971) Chemical analysis. Neues Jahrbuch für Mineralogie Monatshefte, 10: 466– 469.
- Nittrouer, C. A., and Wright, L. D (1994) Transport of particles across continental shelves: *Reviews of Geophysics*, 32 (1): 85-113.
- Normand, R., Simpson, G., Herman, F., Biswas, R.H., and Bahroudi, A (2019) Holocene Sedimentary Record and Coastal Evolution in the Makran Subduction Zone (Iran). *Quaternary*, 2(21): 1-20
- Sahu, B. K (1964) Transformation of weight frequency and number frequency data in size distribution studies of clastic sediments. *sedimentary petrology*, 34: 768-773.
- Saket, A., Etemad-Shahidi, A (2012) Wave energy potential along the northern coasts of the Gulf of Oman, Iran. *Renewable Energy*, 40: 90-97.
- Scheffers, A., Engel, M., Scheffers, S., Squire, P., Kelletat, D (2012) Beach ridge systems, archives for Holocene coastal events? *Prog. Phys. Geogr.*, 36: 5–37.
- Shah-Hosseini, M., Ghanavati, E., Morhange, C., Naderi Beni, A., Lahijani, H.A., Hamzeh, M. A (2018) The evolution of Chabahar beach ridge system in SE Iran in response to Holocene relative sea level changes. *Geomorphology*, 318: 139–147.
- (Chabahar-Gawater). *Journal of the Persian Gulf (Marine Science)*, 6 (21): 51-63.
- Ariffin, E. H., Sedrati, M., Akhir, M. F., Yaacob, R. and Husain, M. L (2016) Open sandy beach morphology and morphodynamic as response to seasonal monsoon in Kuala Terengganu, Malaysia. *Journal of Coastal Research*, (75): 1032-1036.
- Annamalai, H., Murtugudde, R (2005) Role of Indian Ocean in regional climate variability, in Earth's Climate: The Ocean-Atmosphere Interaction, *Geophys. Monogr. Ser.*, vol. 147, edited by C. Wang, S.-P. Xie, and J. A. Carton, pp. 213– 246, AGU, Washington, D. C.
- ASTM (1988) Designation D2216-80, Standard method for laboratory determination of water (moisture) content of soil, rock and soil-aggregate mixtures. In: 1988 Annual book of ASTM standards, Construction, soil and rock, building stones, geotextiles, 04.08: 4-262.
- Bird, E. C (2011) Coastal geomorphology: an introduction. John Wiley & Sons. 411p.
- Blair, T. C., and McPherson, J. G (1999) Grain-size and textural classification of coarse sedimentary particles. *Journal of Sedimentary Research*, 69 (1): 6–19.
- Chauhan, O. S (1995) Monsoon-induced temporal changes in beach morphology and associated sediment dynamics, central east coast of India. *Journal of coastal research*, 776-787.
- Daessle, L. W., Marquez, G. R., Camacoh-Ibar, V.F., Gutierrez-galindo, E. A., Shumilin, E., and Qrtiz-Compos, E (2009) Geochemistry of modern sediment from San Quintin coastal lagoon, Baja California: Implication for provenance. *Revista Mexicana de Ciencias Geologicas*, 26: 117-132.
- Darling, J. M (1964) Seasonal changes in beaches of the North Atlantic coast of the United States. *Proceedings of 9th Conference on Coastal Engineering*. Lisbon, pp. 236-48.
- Farooq, S. and Arshad, N (2010) Macrobenthos diversity and abundance during SW monsoon season at Sandspit Beach. *Pakistan Journal of Marine Sciences*, 19(1&2): 3-19.
- Fazeli, N., Zare, R (2011) Effect of seasonal monsoons on Calanoid Copepod in Chabahar Bay-Gulf of Oman. *Jordan Journal of marine sciences*, 4 (1): 55-62.
- Fazeli, N., Savari, A., Nabavi, S. M. B., Zare, R (2013) Seasonal variation of zooplankton abundance, composition and biomass in the Chabahar Bay, Oman Sea. *International Journal of Aquatic Biology*, 1(6): 294-305.
- Folk, R., L (1980) Petrology of sedimentary rocks. Austin, Tex., Hemphill Publishing, Co. 184p.
- Gharibreza, M (2016) Evolutionary trend of paleoshorelines in the Coastal Makran zone (Southeast Iran) since the mid-Holocene. *Quat. Int.*, 392: 203–212.

- Shamji, V. R., Shahul Hameed, T. S., Kurian, N. P. and Thomas, K. V (2010) Application of numerical modelling for morphological changes in a high-energy beach during the south-west monsoon. *Current science*, 98(5): 691-695.
- Shau, B. K (1965) Theory of sieving. *Journal Sedimentary Petrology*, 35: 750-753.
- Snead, R. E (1967) Recent morphological changes along the coast of west pakistan. *Annals of the Association of American Geographers*, 57(3): 550-565.
- Tucker, M. E (1988) Techniques in sedimentology. Blackwells, Oxford, 394 pp.
- Valsangkar, A. J (1992) Principles, methods and applications of particle size analysis. *Canadian Geotechnical Journal*, 29 (6): 92-115.
- Reineck, H. E., and Singh, I. B (1980) Depositional sedimentary environments with references to terrigenous clastics: 2nd ed., Berlin and New York, Springer-Verlag.
- Sengupta, D., R. Senan, and Goswami, B. N (2001) Origin of intraseasonal variability of circulation in the tropical central Indian Ocean, *Geophys. Res. Lett.*, 28: 1267– 1270.
- Schott, F. A., and McCreary, J. P (2001) The monsoon circulation of the Indian Ocean, *Prog. Oceanogr.*, 51: 1– 123.
- Singh, G. P., and Oh, Jai-Ho (2007) Impact of Indian Ocean sea-surface temperature anomaly on Indian summer monsoon precipitation using a regional climate model, *International Journal of Climatology*, 27 (11): 1455-1465.
- Sperber, K. R., Slingo, J. M., and Annamalai, H (2000) Predictability and relationship between subseasonal and interannual variability during the Asian summer monsoon, *Q. J. R. Meteorol. Soc.*, 126: 2545– 2574.
- Syvitski, J. P. M. (ed), (2007) Principles, methods and application of particle size analysis. Cambridge University Press, Cambridge, 368p.
- Taheri, M., Yazdani, M., Bagheri, H (2010) Community Structure and Biodiversity of Intertidal Sandy Beach Macrofauna in Chabahar Bay, Northeast of Oman Gulf, IR Iran. *Journal of the Persian Gulf (Marine Science)*, 1: 17-25.
- Webster, P. J., Magana, V. O., Palmer, T. N., Shukla, J., Tomas, R. A., Yanai, M., Yasunari, T (1998) Monsoons: process, predictability and the prospects for prediction. *Journal of Geophysical Research* 103 (C7): 14451–14510.
- Wong, P., P (1981) Beach changes on a monsoon coast, Peninsular Malaysia. *Geol. Soc. Malaysia, Bulletin*, 14: 59-74.
- Wyrtki, K (1973) An equatorial jet in the Indian Ocean, *Science*, 181: 262– 264.